

Александр Леонидович
Чижевский (1897 — 1964)

Подготовил Выползов М.,
ББ-405, 09. 09. 2019

*Что человеку гибель мирозданья —
Пусть меркнет неба звездная порфира:
Страшитесь же иного угасанья:
Мрак разума ужасней мрака мира!*



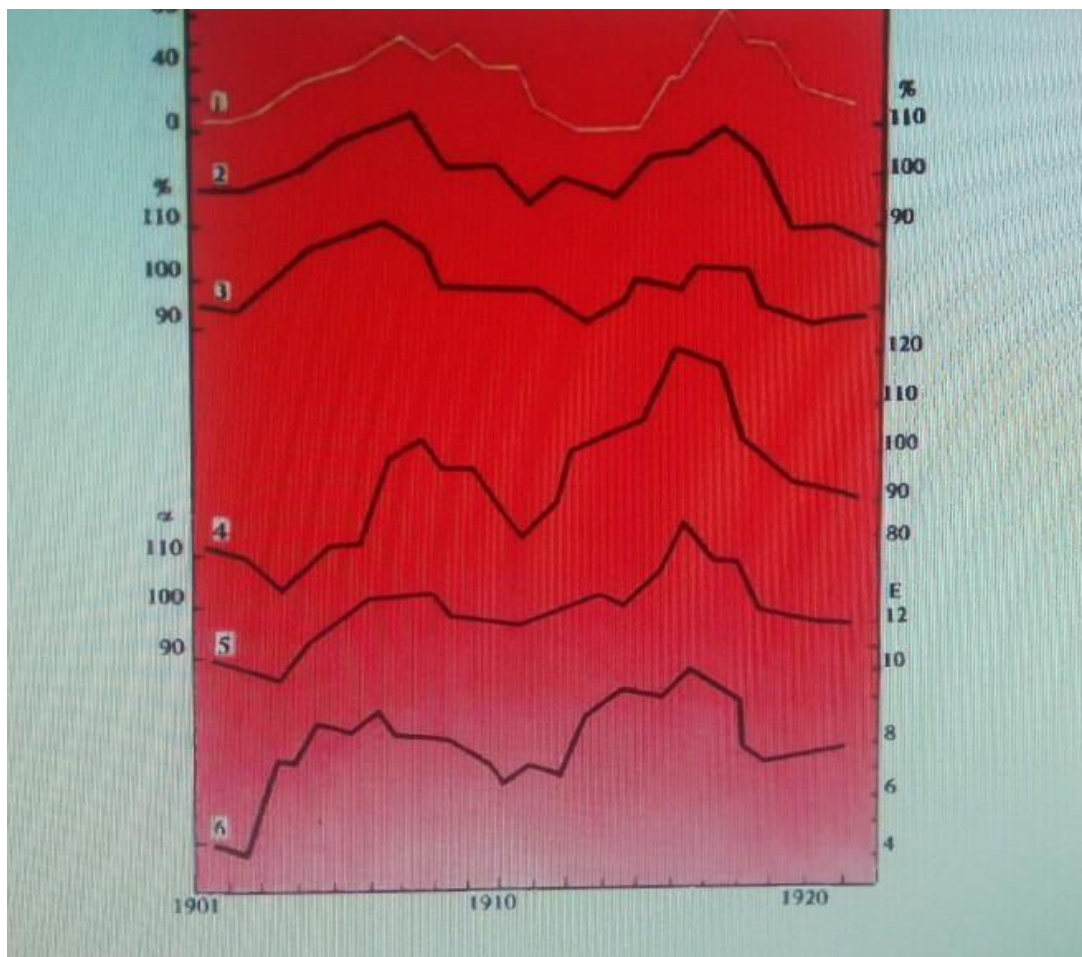


Рисунок 1. Напряжение электрического поля атмосферы в различных участках земного шара (кривые 2—5), солнцедятельность (кривая 1) и земной магнетизм (кривая 6) (по Л. Бауэру)

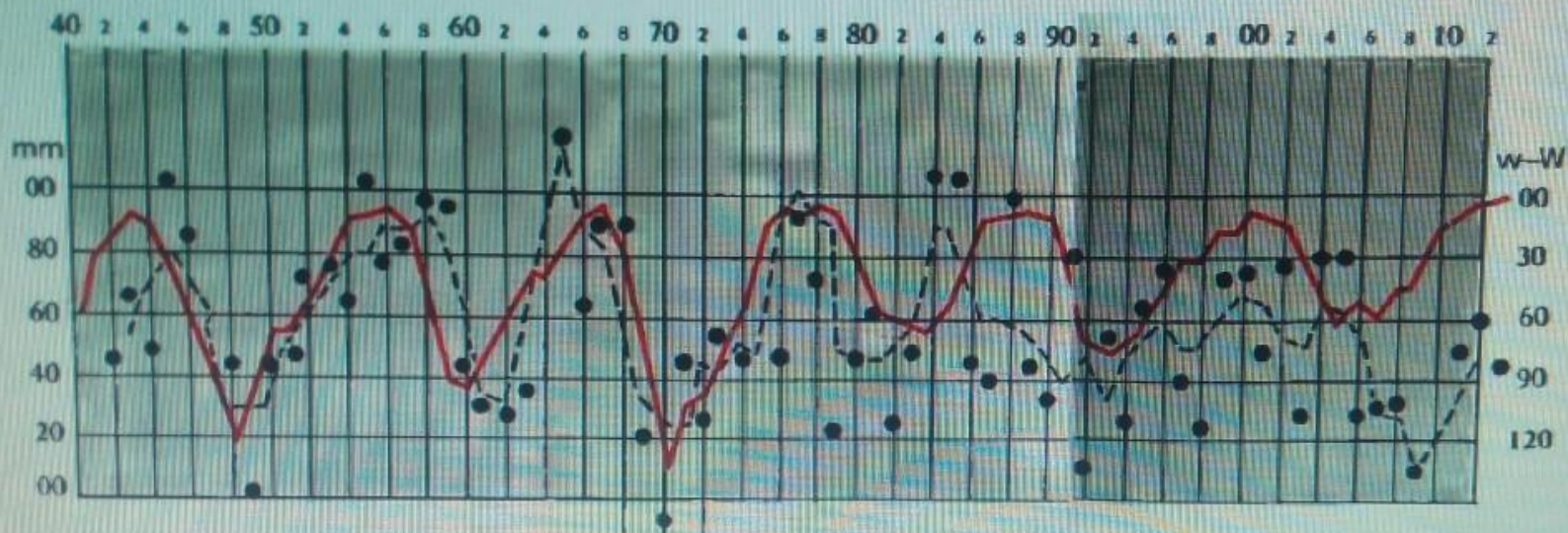


Рисунок 13. Вековой ход с 1840 по 1912 г- числа солнечных пятен и давление воздуха в Мадрасе, красная кривая — число солнечных пятен (кривая дана зеркально), пунктирная кривая — сглаженный ход давления воздуха в Мадрасе, черные кружки — средние годовые давления воздуха (по Е.Е. Федорову)

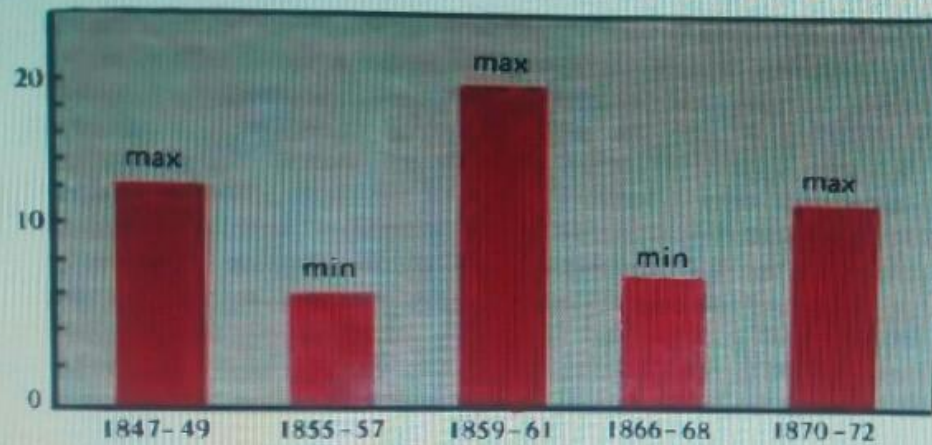


Рисунок 14. На максимум солнцедетельности падают максимумы циклонов и Индийском океане. На минимумы солнцедетельности приходятся минимумы циклонов (по Мелдруну).

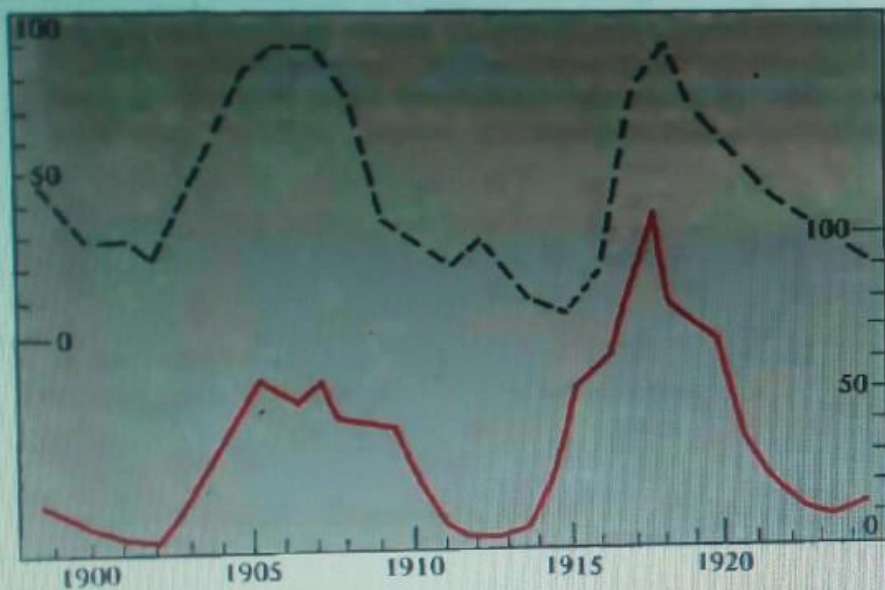


Рисунок 15. Нижняя кривая — солнечные пятна с 1899 по 1924 г. Верхняя кривая — частота бурь на озере Байкал (данные обсерватории в Иркутске)

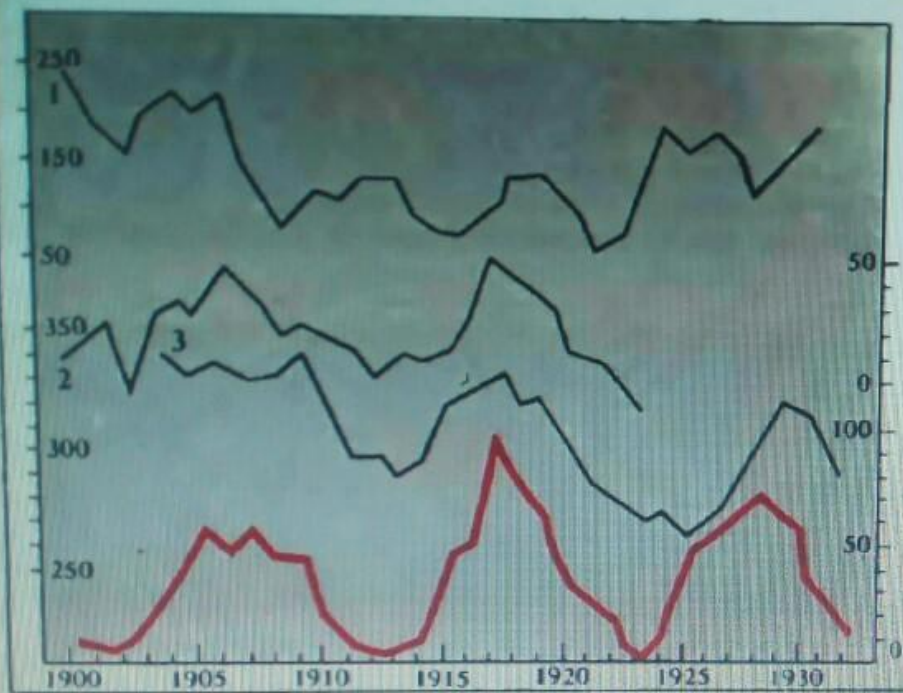


Рисунок 16. Нижняя кривая — солнечные пятна. 1-я кривая — уровень Ладожского озера; 2-я кривая — уровень озера Виктория; 3-я кривая — уровень Каспийского моря (по Д. О. Святскому и Л. С. Бергу).

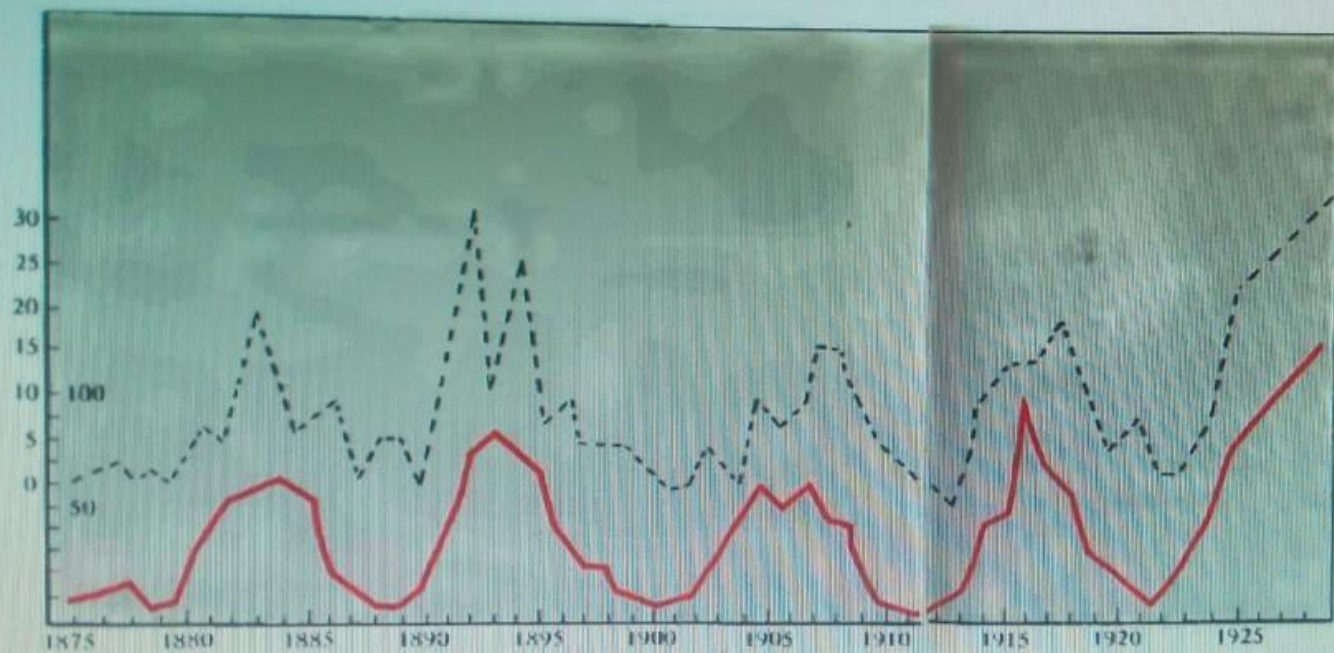


Рисунок 19. Нижняя кривая — солнечные пятна с 1875 по 1925 г. (площади пятен). Верхняя кривая — интенсивность магнитных бурь за то же время (по данным обсерватории в Гринвиче). Следует обратить внимание на небольшие скачки кривой магнитных бурь в годы минимумов солнечных пятен

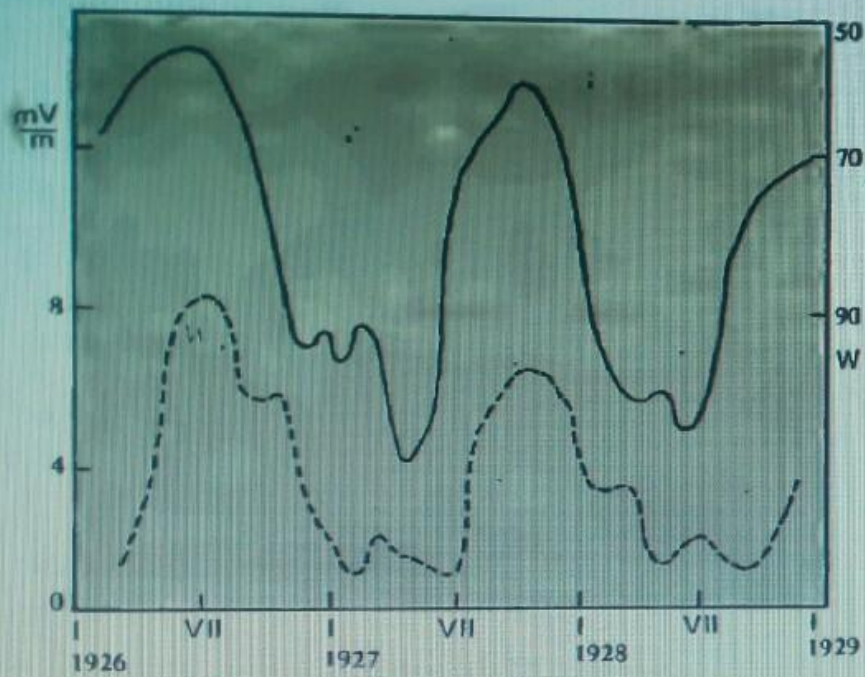


Рисунок 22. Верхняя кривая — число солнечных пятен (кривая изображена зеркально). Нижняя кривая — результаты радиоизменений. Чертеж показывает, что чем интенсивнее деятельность Солнца, тем хуже условия радиопередач (по Стетсону)

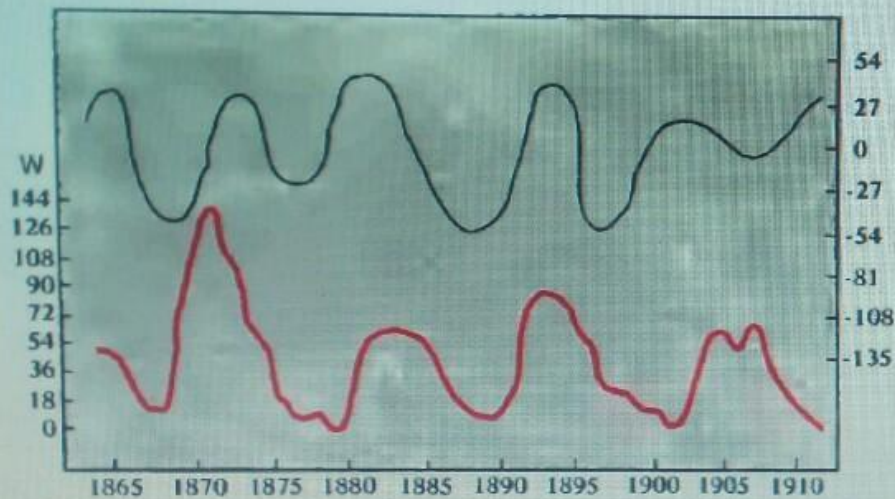


Рисунок 23. Нижняя кривая — солнечные пятна. Верхняя кривая — урожай в США с 1865 по 1911 г. (по Семенову)



Рис. 1. Лаборатория аэроионизации в 1918—1922 гг.

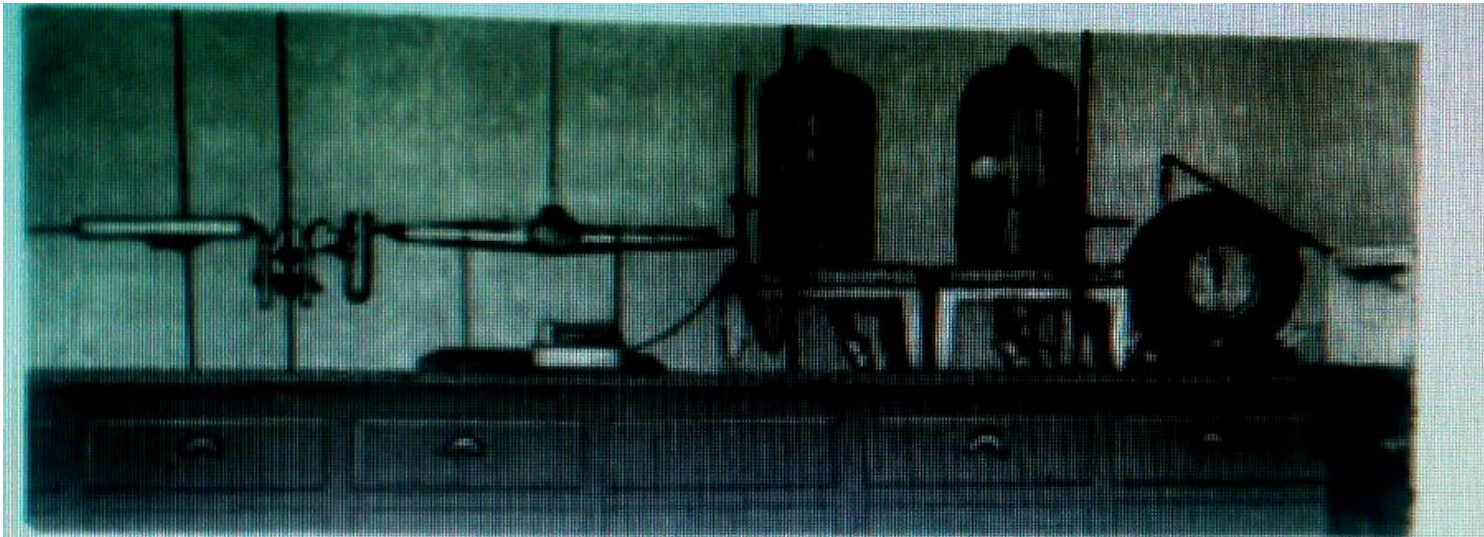
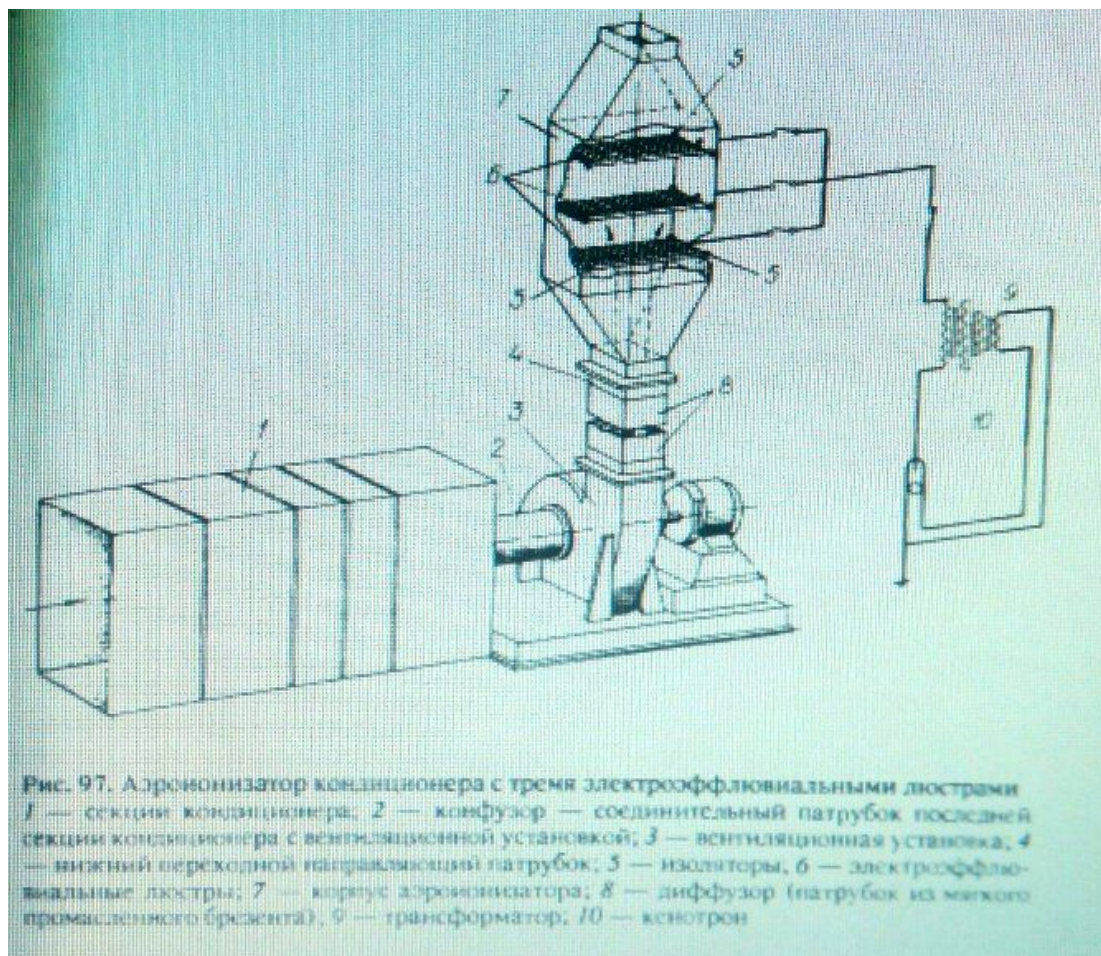


Рис. 71. Две герметические установки для исследования влияния на животных дез-ионизированного, а затем ионизированного воздуха с помощью электрофлюквильного дорезонизатора (Лаборатория кафедры общей и экспериментальной гигиены 3-го Московского медицинского института).



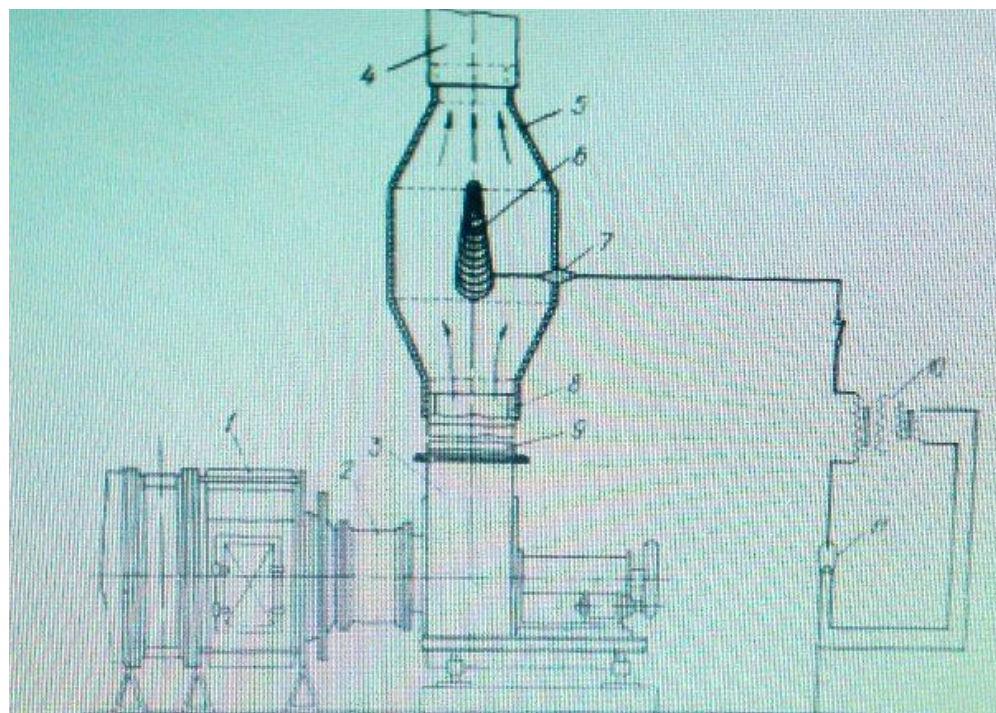


Рис. 96. Облучаемый электрофлуоресцентный аэроизонизатор конденсатора
 1 — стекло конденсатора (флюоризатор); 2 — диффузор — соединительный патрубок
 последних секций конденсатора с инсталляционной установкой; 3, 4 и 8 — соответствен-
 но верхний и нижний горизонтальный патрубки; 5 — корпус аэроизонизатора; 6 — облучае-
 мый электрофлуоресцентная лампа; 7 — проходной изолятор; 9 — диффузор; патрубок
 из мягкой нержавеющей (бронзы); 10 — трансформатор; 11 — панель управления лампы

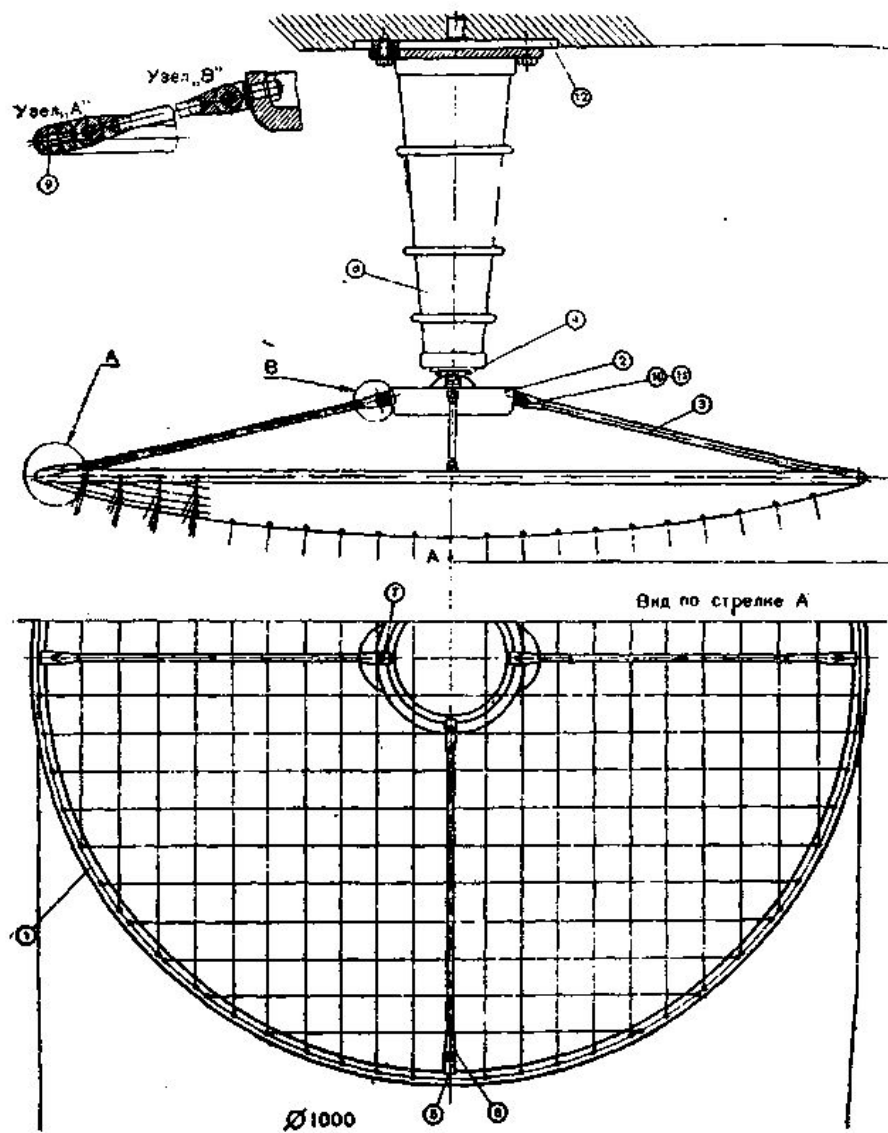


Рис. 47а. Схема электроэффлювиальной люстры типа ЭЭФФ-5:

1 — обод электроэффлювиальной люстры; 2 — держатель; 3 — растяжка; 4 — планка держатель; 5 — хомут; 6 — хомут наружный; 7 — хомут; 8 — высоковольтный изоля тор; 9 — стопорный винт; 10 и 11 — винты; 12 — крепление к потолку.

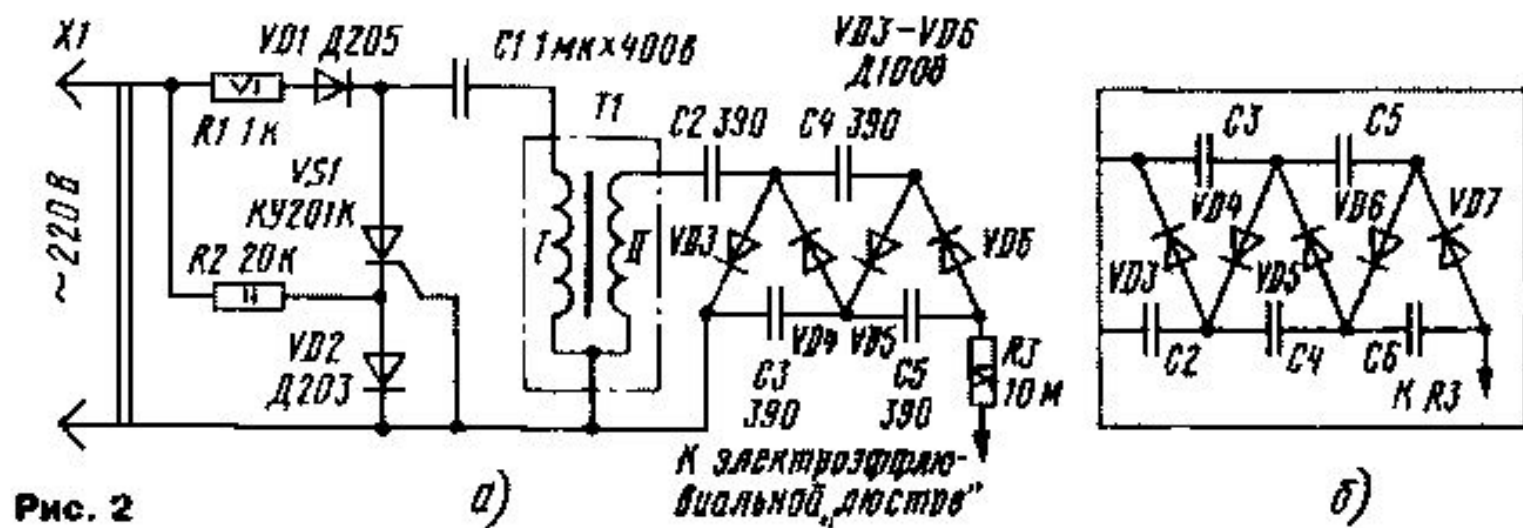


Рис. 2



Рис. 115. Высокодисперсная кварцевая пыль во взвешенном состоянии (слева) и коагуляция капельчатых частиц этой пыли под действием аэрионного потока отрицательной полярности с электрооффлювальной люстры (справа) (по Н.Д. Киселеву)

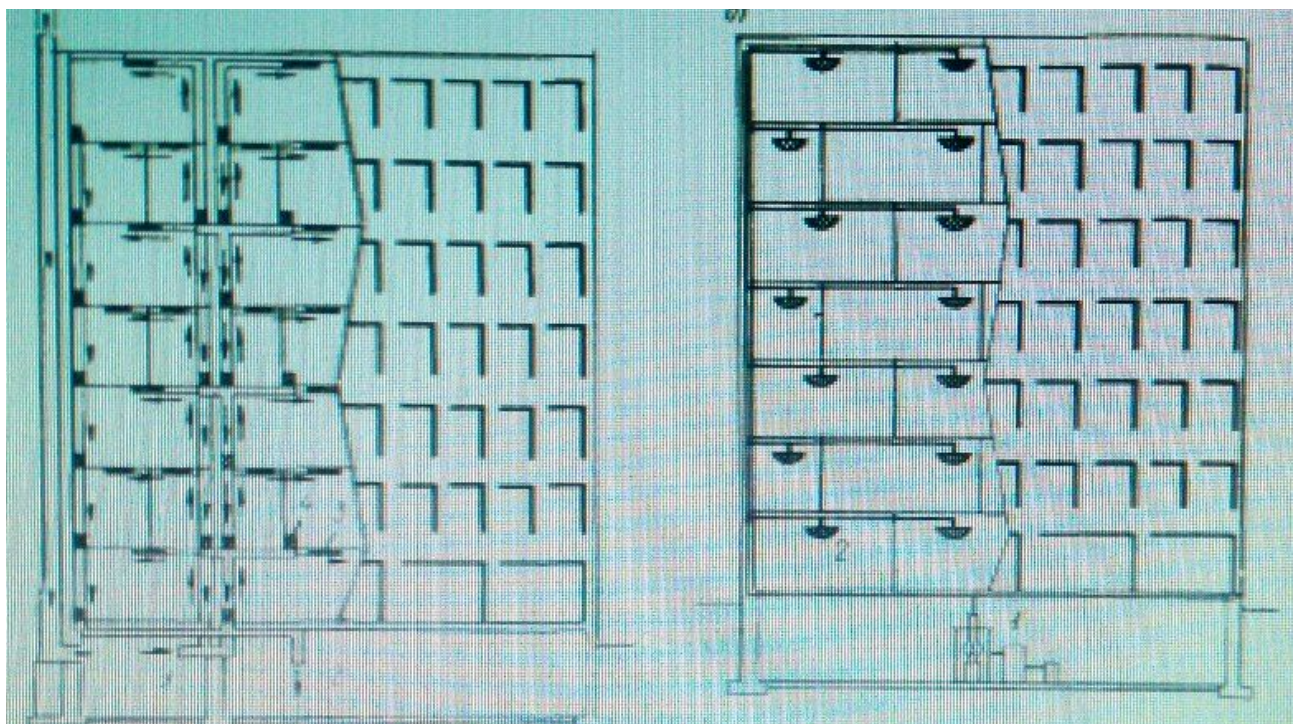


Рис. 98. Схематический разрез аэроионизированного здания

а — с гидрокислородной: 1 — труба, подающая гидрокислородные ионы; 2 — вытяжная труба; 3 — приточная вентиляция; 4 — вытяжка воздуха; *б* — с высоковольтной выпрямительной установкой: 1 — собственно установка; 2 — электрофлюоридная люстра

И снова осень. Акварель , 1954

Г.



Холодная осень. Первый снег. Акварель, 1953 г.



Журавли улетают. Акварель , 1941 г.





Спасибо за внимание